

СВЕТОВОЕ ЭХО В $\text{CaWO}_4 : \text{Nd}^{3+}$

В. В. Самарцев, Р. Г. Усманов, И. Х. Хадыев

Сообщается о наблюдении явления светового эха в кристалле $\text{CaWO}_4 : \text{Nd}^{3+}$. Исследуются условия и особенности формирования этого когерентного отклика.

Метод светового эха [1 – 3] является перспективным в исследовании механизмов уширения резонансных линий, времен релаксаций, динамики генерации когерентных откликов, их формы и спектрального состава в кристаллах. Однако, все подробные исследования условий реализации этого эффекта в твердых телах до последнего времени были исключительно связаны с рубином в связи с трудностями достижения резонанса с соответствующим излучением лазера. Поэтому наблюдение этого явления в других кристаллах представляется весьма актуальным. В настоящей работе сообщается об обнаружении светового эха в другом кристалле – $\text{CaWO}_4 : \text{Nd}^{3+}$. Исследуются условия и особенности формирования этого когерентного отклика при 2,2К на переходе $^4I_{9/2} - ^4F_{3/2}$.

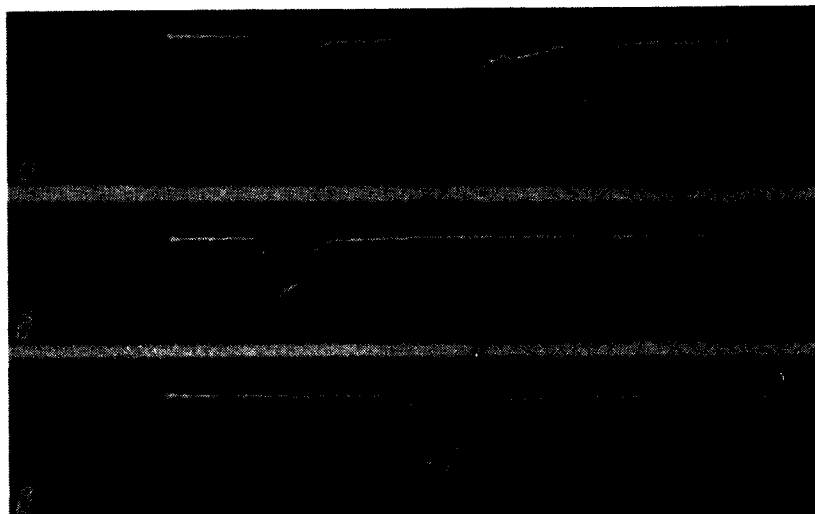


Рис. 1. Осциллограммы наблюдаемых сигналов в $\text{CaWO}_4 : \text{Nd}^{3+}$: *a* – два возбуждающих лазерных импульса и сигнал светового эха (первый справа) в случае $t = 64 \text{ нсек}$; *b* – воздействие только первого лазерного импульса (эхо отсутствует); *c* – воздействие только второго импульса (эхо отсутствует)

Оscиллограммы наблюденных в эксперименте сигналов изображены на рис. 1. На верхней осциллограмме зафиксирована совокупность двух возбуждающих импульсов при времени задержки второго из них – $\tau = 64 \text{ нсек}$ и сигнал светового эха (первый справа) в момент времени 2τ . Нижние осциллограммы констатируют отсутствие сигнала эха в случае, если один из возбуждающих импульсов не подается.

На рис. 2 приведена блок-схема экспериментальной установки. Возбуждение на длине волны $\lambda = 8767 \text{\AA}$ осуществлялось с помощью оптического квантового генератора на растворе органического красителя – 1,1'-диэтилхинотрикарбоцианиниода в диметилформамиде. Система накачки состояла из рубинового лазера с пассивной модуляцией добротности, который на длине волны $\lambda_{\text{руб}} = 6943 \text{\AA}$ генерировал оптические импульсы длительностью $\Delta t \sim 20 + 35 \text{ нсек}$ и средней мощностью излучения $\sim 40 \text{ Мвт}$. Время между импульсами – τ с помощью линии задержки варьировалось в пределах $20 + 120 \text{ нсек}$. Сигналы фиксировались с помощью скоростного фотоумножителя ЭЛУ-ФТ с разрешением не хуже $2,7 \text{ нсек}$.

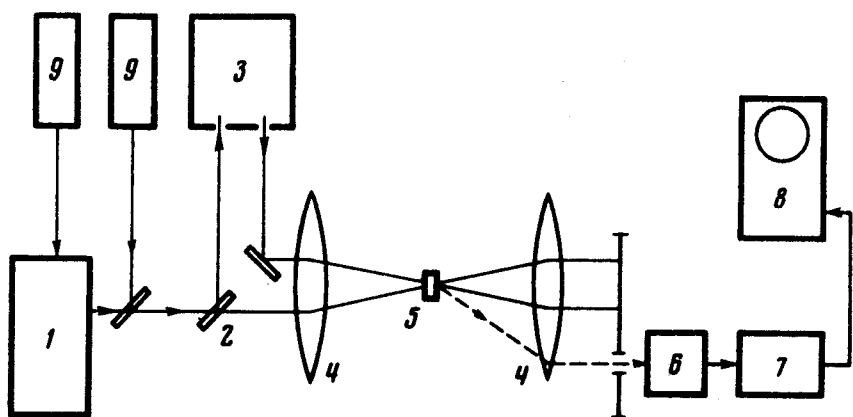


Рис. 2. Блок-схема экспериментальной установки по наблюдению светового эха в $\text{CaWO}_4 : \text{Nd}^{3+}$: 1 – оптический квантовый генератор на растворе органического соединения; 2 – делительная пластинка; 3 – оптическая линия задержки ($\tau = 20 + 120 \text{ нсек}$); 4 – фокусирующие линзы; 5 – исследуемый образец; 6 – ячейка Керра со скрещенными поляризационными призмами; 7 – скоростной фотоумножитель ЭЛУ-ФТ; 8 – скоростной осциллограф И2-7; 9 – юстировочные гелий-неоновые лазеры ЛГ-75

Рабочий образец, вырезанный из лазерного стержня $\text{CaWO}_4 : \text{Nd}^{3+}$, представлял из себя куб с площадью поперечного сечения $S = 0,25 \text{ см}^2$. Концентрация ионов Nd^{3+} составляла $\approx 0,5 \text{ вес \%}$. Оптическая ось кристалла лежала в плоскости образца и была перпендикулярна направлению воздействия возбуждающих импульсов. Оптический гелиевый криостат вместе с исследуемым образцом помещался между катушками Гельмгольца, позволявшими создавать постоянное горизонтальное магнитное поле $\sim 50 + 200 \text{ Гс}$. Нам не удавалось зафиксировать световое эхо в нулевом магнитном поле.

Расположение термов мультиплетов 4I и терма $^4F_{3/2}$ иона Nd³⁺ в кристалле CaWO₄ изображено на рис. 3 [4].

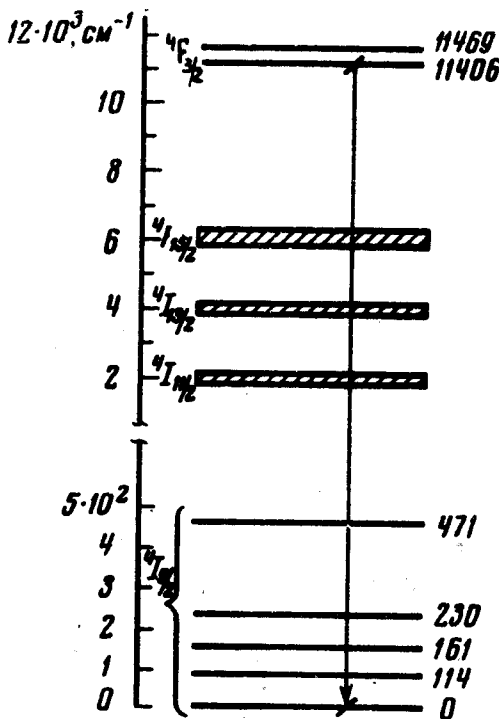


Рис. 3. Схема энергетических уровней иона Nd³⁺ в CaWO₄

Время продольной релаксации — T_1 на переходе $^4I_{9/2} \leftrightarrow ^4F_{3/2}$ составляет $\approx 10^{-4}$ сек. Оценки времени поперечной необратимой релаксации — T_2 , обязанной магнитным и электрическим диполь-дипольным взаимодействием, дают значения $\gtrsim (5 + 7) \cdot 10^{-8}$ сек. Сверхтонкие и суперсверхтонкие взаимодействия характеризуются несколько более длинными временами релаксации. Оценки скоростей релаксации, обязаных а) орбаховскому процессу $I/\tau_{\text{орв}} \sim \Delta^3 \exp(-\Delta/k_B T)$ и б) рамановскому процессу $I/\tau_{\text{рам}} \sim \Delta^{-4} T^9$ (где Δ — расщепление между каким-либо из резонансных энергетических подуровней и ближайшим нерезонансным подуровнем, k_B — постоянная Больцмана, T — абсолютная температура), показывают значения, не превышающие 10^8 сек^{-1} . Исследование спектров люминесценции и поглощения позволило найти время поперечной обратимой релаксации: $T_2^* \sim 10^{-11}$ сек. Таким образом в формировании эха участвовала лишь часть "спиновых пакетов" неоднородно-ширенной линии.

Из вышесказанного следует, что необходимые для наблюдения светового эха условия в нашем эксперименте выполнялись.

Экспериментально было установлено, что волновой вектор светового эха \mathbf{k}_3 удовлетворяет следующему условию пространственного синхронизма: $\mathbf{k}_3 = 2\mathbf{k}_2 - \mathbf{k}_1$, где \mathbf{k}_1 и \mathbf{k}_2 – волновые векторы возбуждающих импульсов. Кроме того, имела место корреляция между формой эха и формой возбуждающих импульсов, связанная с особенностями формирования светового эха в случае, когда $\Delta t >> T_2^*$ [5, 6]. Отметим, что теория [5, 6] объясняет также малость интенсивности эха по сравнению с интенсивностью импульсов наличием в случае $\Delta t > T_2^*$ множителя

$$\left(\frac{3}{4} \frac{T_2^*}{\Delta t}\right)^2. \text{ Анализ показал, что в случае когда векторы поляризаций}$$

обоих линейно-поляризованных импульсов параллельны между собой, сигнал эха имеет также линейную поляризацию, совпадающую с поляризацией импульсов.

Ширина линии излучения оптического квантового генератора была $\sim 0,5 + 0,6 \text{ нм}$. При изменении длины волны возбуждения на $0,5 + 0,8 \text{ нм}$ сигнал светового эха исчезал. Обратим внимание и на то обстоятельство, что при изменении направления оптической оси кристалла относительно \mathbf{k}_1 на 90° эхо заметно уменьшалось.

В случае, когда дифракционная решетка в лазере на красителе заменилась плоским зеркалом (это приводит к уширению спектра излучения до 30 нм) сигнал светового эха исчезал. Это обстоятельство связано с тем, что в подобных условиях становится невозможным выполнение условий для получения $\pi/2$ и π -импульсов.

Казанский
физико-технический институт
Академии наук СССР

Поступила в редакцию
23 мая 1975 г.

Литература

- [1] У.Х.Копвиллем, В.Р.Нагибаров. ФММ, 15, 313, 1963; У.Х.Копвиллем, В.Р.Нагибаров, В.А.Пирожков, В.В.Самарцев, Р.Г.Усманов. ФТГ, 14, 1794, 1972; Письма в ЖЭТФ, 20, 139, 1974.
- [2] I.D.Abella, N.A.Kurnit, S.R.Hartmann. Phys. Rev. Lett., 13, 567, 1964; Phys. Rev., 141, 391, 1966.
- [3] S.Chandra, N.Takeuchi, S.R.Hartmann. Phys. Lett., 41A, 91, 1972.
- [4] Я.Э.Карисс, А.М.Морозов. П.П.Феофилов. Оптика и спектроскопия, 17, 887, 1964.
- [5] А.Г.Шагидуллин. Сб. "Световое эхо" изд. КГПИ, Казань, стр. 107.
- [6] А.И.Алексеев, И.В.Евсеев. ЖЭТФ, 68, 456, 1975.